

Prediction of A Passenger Injury in the Truck Compartment During Accident
การคาดการณ์อันตรายที่เกิดขึ้นกับผู้โดยสารเมื่อรถบรรทุกประสบสนับสนุนติดเหตุ

สัจจาพิพิธ พันธุ์พันธุ์

ภาควิชาวิศวกรรมเครื่องกล คณะวิศวกรรมศาสตร์ มหาวิทยาลัยเกษตรศาสตร์

ปรีดิ ภาระยานกุรุ, นัชดา วิมลทรัพย์สิน

สถาบันค้นคว้าและพัฒนาเทคโนโลยีการผลิตทางอุตสาหกรรม คณะวิศวกรรมศาสตร์ มหาวิทยาลัยเกษตรศาสตร์

50 ถ. พหลโยธิน แขวงลาดยาว เขตจตุจักร กรุงเทพฯ 10900

โทร. 66(2) 942-8566-70 โทรสาร 66(2) 9405414 E-mail: feng_cnc@std.cpc.ku.ac.th

บทคัดย่อ

รถบรรทุกขนาดเล็กหรือรถปิกอัพมีการนำมาใช้อย่างแพร่หลายในประเทศไทย มักถูกนำมาใช้เพื่อบรรทุกผู้โดยสาร ซึ่งเป็นการผิดวัตถุประสงค์ของการใช้งาน คือใช้สำหรับบรรทุกสิ่งของและสัมภาระ บทความนี้ได้นำเสนอการนำเสนอด้วยการใช้ตัวจำลองการเคลื่อนไหว ซึ่งโปรแกรมสามารถใช้ได้กับคอมพิวเตอร์ส่วนบุคคล รูปแบบจำลองของผู้โดยสารหล่ายๆแบบได้นำเสนอเพื่อเบร์ยนเทียนความถูกต้องแม่นยำ และเวลาในการประมวลผล ตัวแทนและท่านั่งของผู้โดยสารบนรถบรรทุกนำมาศึกษาในการชนหลังกระดับนั่นของความรุนแรง ทั้งค้านหน้าและค้านหลังของรถบรรทุก ผลการวิเคราะห์สามารถแสดงเป็นกราฟิกให้เห็นเป็นลำดับภาพต่อภาพและเวลาที่ผู้โดยสารได้รับแรงกระแทก

โดยสารไม่มีที่นั่ง เริ่มนั่งนิรภัย หลังคาและแผ่นด้านข้าง เมื่อรถโดยสารบุคคลทั่วไป ดังนั้นถ้ามีอุบัติเหตุผู้โดยสารที่โดยสารบนกระดับนี้จะถูกกระเด็นจากที่นั่ง ได้รับบาดเจ็บและเสียชีวิตได้

มาตรการหนึ่งในการนั่งหัวซักหัวไม่ให้ใช้ในการบรรทุกผู้โดยสารเพื่อลดการบาดเจ็บจากอุบัติเหตุบนท้องถนนคือการใช้โปรแกรมคอมพิวเตอร์จำลองการเกิดอุบัติเหตุบนผู้โดยสารที่นั่งคนเดียวบนกระดับท้ายโดยไม่มีเริ่มนั่นนิรภัย ที่หลายอัตราความรุนแรงของการเกิดอุบัติเหตุ เนื่องจากแบบจำลองของร่างกายมนุษย์มีความซับซ้อนสูงซึ่งเป็นผลให้เวลาในการประมวลผลที่นาน ดังนั้นการศึกษาแบบจำลองของร่างกายของผู้โดยสาร จำกัดแบบง่ายๆ จะช่วยให้สามารถศึกษาหลักการผันของอุบัติเหตุได้ในระยะเวลาที่สั้น การเลือกใช้แบบจำลองที่เหมาะสม จึงเป็นการทำให้ผลการวิเคราะห์เป็นที่ยอมรับได้ ในขณะที่สามารถลดเวลาการประมวลผลให้สั้นลง

Abstract

Small trucks or Pick-Up trucks are popular in Thailand and misused by carrying passengers instead. This paper presents the injury, which will occur for a passenger sitting freely on the floor of the truck compartment of a small truck. The accident was simulated by using a dynamic simulation software running on a personal computer. Various models of the body were used to determine the optimization of accuracy and computing time. The locations on the truck and posture of the passenger were studied with various degree of collision at the front and back of the truck. The results were present graphically as a frame by frame basic and at critical frames.

1. บทนำ

เนื่องจากการบรรทุกขนาดเล็ก หรือรถปิกอัพเป็นพาหนะที่ได้รับความนิยมและมีจำนวนผู้ครอบครองจำนวนมาก โดยจุดประสงค์ของพาหนะประเภทนี้เพื่อใช้สำหรับบรรทุกสิ่งของ แต่ในหลายโอกาสผู้ครอบครองหรือผู้ขับรถจะใช้บรรทุกผู้โดยสารบริเวณกระดับท้าย โดยผู้

2. ทฤษฎี

การศึกษาทางด้านชีวกลไกมักจะใช้การสร้างแบบจำลองอย่างง่ายๆ ในการศึกษาลักษณะการทำงานของมนุษย์และใช้สมการทางคณิตศาสตร์ในการวิเคราะห์ค่าวนวน หนึ่งในแบบจำลองพื้นฐานที่ใช้กันอยู่อย่างแพร่หลายจะเป็นแบบจำลองซึ่งใช้การเรื่องต่อ กันของวัตถุนี้ เช่น เกร็งแทนส่วนต่างๆของร่างกายมนุษย์ (เปรียบเสมือนข้อต่อต่างๆของกลไกเครื่องจักรกล) แล้วกำหนดเงื่อนไขต่างๆ และแรงกระทำภายในอกหรือในเม็ด แล้วจึงทำการคำนวณโดยโปรแกรมสำเร็จ (Working Model Motion) ซึ่งใช้การอินพิเกรชันในการคำนวณหา ตัวแทนและความเร็วของวัตถุ โดยในงานวิจัยนี้ได้ใช้วิธี Kutta-Merson Integration

2.1 Kutta-Merson Integration

Kutta-Merson Integration เป็นหลักการอินพิเกรชันที่ให้ คำศอนที่ใกล้เคียงกับคำจริงและเป็นวิธีการที่ค่อนข้างรวดเร็ว วิธีการในการแก้ปัญหาสมการเชิงอนุพันธ์ของ Kutta-Merson มีรูปแบบสมการดังนี้

$$y_0 = y(t) \quad (1)$$

$$y_1 = y_0 + \frac{1}{3}hf(y_0, t) \quad (2)$$

$$y_2 = y_0 + \frac{1}{6}hf(y_0, t) + \frac{1}{6}hf(y_1, t + \frac{1}{3}h) \quad (3)$$

$$y_3 = y_0 + \frac{1}{8}hf(y_0, t) + \frac{3}{8}hf(y_2, t + \frac{1}{3}h) \quad (4)$$

$$\begin{aligned} y_4 &= y_0 + \frac{1}{6}hf(y_0, t) - \frac{3}{2}hf(y_1, t + \frac{1}{3}h) \\ &\quad + 2hf(y_3, t + \frac{1}{2}h) \end{aligned} \quad (5)$$

$$\begin{aligned} y_5 &= y_0 + \frac{1}{6}hf(y_0, t) + \frac{2}{3}hf(y_1, t + \frac{1}{2}h) \\ &\quad + \frac{1}{6}(y_4, t + h) \end{aligned} \quad (6)$$

โดยค่าประมาณความคลาดเคลื่อนมีค่าเท่ากับ

$$\frac{1}{5}|y_4 - y_5| \quad (7)$$

2.2 Coefficient of Restitution (e)

Coefficient of Restitution เป็นการวัดค่าความยืดหยุ่นเนื่องจากการชนของวัตถุ 2 ชิ้น หรืออาจกล่าวได้ว่าเป็นค่าที่บ่งถึงพลังงานของวัตถุที่ยังคงอยู่หลังเกิดการชนโดย ค่า e จะมีค่าตั้งแต่ 0 ถึง 1 สำหรับการชนที่มีความยืดหยุ่นสมบูรณ์จะมีค่า e เท่ากับ 1 และถ้าเป็นการชนที่ไม่มีความยืดหยุ่นจะมีค่า e เท่ากับ 0

นิยามของ e คืออัตราส่วนระหว่างผลต่างของความเร็วของวัตถุทั้งสองหลังการชน กับผลต่างของความเร็วของวัตถุทั้งสองก่อนการชน

$$e = \frac{v_2 - v_1}{u_2 - u_1} \quad (8)$$

e Coefficient of Restitution

u_1 ความเร็วเชิงเดินของวัตถุชิ้นที่ 1 ก่อนการชน

u_2 ความเร็วเชิงเดินของวัตถุชิ้นที่ 2 ก่อนการชน

v_1 ความเร็วเชิงเดินของวัตถุชิ้นที่ 1 หลังการชน

v_2 ความเร็วเชิงเดินของวัตถุชิ้นที่ 2 หลังการชน

2.3 กฎการเคลื่อนที่

จากกฎการเคลื่อนที่ของนิวตันเมื่อมวล M ได้รับแรงกระทำจะเกิดการเคลื่อนที่ด้วยความเร็ว v กำหนดให้แรงที่กระทำแทนด้วย F มูลหน่วย M และความเร็วของมวลแทนด้วย V ดังนั้นจากกฎของนิวตัน จะได้ว่า

$$F = \frac{d(MV)}{dt} = M \frac{dV}{dt} + V \frac{dM}{dt} \quad (9)$$

สำหรับเครื่องจักรกลทั่วไปค่าของมวลจะไม่เปลี่ยนแปลงเมื่อเวลาเปลี่ยนไป ทำให้ค่า $\frac{dM}{dt} = 0$ ดังนั้นจากกฎการเคลื่อนที่ของนิวตันสำหรับชั้นส่วนของเครื่องจักรกลพบว่า

$$F = M \frac{dV}{dt} = Ma \quad (10)$$

2.4 Normal Range of Motion

Normal Range of Motion เป็นค่าปกติของการเคลื่อนไหวของข้อต่างๆของร่างกายมนุษย์ ซึ่งร่างกายมนุษย์ปกติไม่สามารถเคลื่อนไหวได้เกินไปจากค่าเหล่านี้ เนื่องจากโครงสร้างของร่างกายประกอบด้วย กระดูก อีนีบีดกระดูก (Ligament) และเอ็นบีดกล้ามเนื้อกระดูก (Tendon) ข้อต่อที่สำคัญและได้นำมาใช้ในงานวิจัยนี้สรุปได้ดังตารางที่ 1

ตารางที่ 1 Normal Range of Motion

	Flexion-Extension (degree)	Lateral-Flexion (degree)	Rotation (degree)
Neck			
- Occipital- atlantal joint	25	5	5
- Atlanto-axial joint	20	5	40

	Abduction (degree)	Adduction (degree)	Flexion (degree)
Shoulder	170-180	45	170-180
Elbow	0	0	145-155
Hip	45	20-30	120-130
Knee	0	0	135-145

	Extension (degree)	External Rotation (degree)	Internal Rotation (degree)
Shoulder	50-60	80-90	70-80
Elbow	0	90 (Supination)	90 (Pronation)
Hip	10-20	40-50	35-45
Knee	0	0	0

3. อุปกรณ์

- คอมพิวเตอร์ส่วนบุคคลหน่วยประมวลผลกลาง Pentium III ความเร็ว 450 MHz RAM 128 KB
- โปรแกรม Working Model Motion Version 5.0
- โปรแกรม Pro/Engineer Version 19

4. วิธีการจำลอง

- 4.1 สร้างแบบจำลองของร่างกาย และผู้โดยสาร โดยใช้โปรแกรม Pro/Engineer สร้างเป็น Solid Model และวิจัยแบบเป็นไฟล์ STL (Stereolithography) แล้วส่งไปที่หานด์เครื่องใน และวิเคราะห์โดยใช้โปรแกรม Working Model Motion 5.0
- 4.2 แบบจำลองรูดบรูตุกมีขนาดความกว้างยาวของกระเบื้องเท่ากับ 164x179.5 เมตร และหลังของแบบจำลองตั้งจากกันเพื่อของกระเบื้องที่รัด น้ำหนักของรอก 1,150 กิโลกรัม
- 4.3 แบบจำลองผู้โดยสารเริ่มพิจารณาจากภูมิประเทศอย่างง่ายๆ แล้วซึ่งค่อยๆ พัฒนาให้มีจำนวนชั้นลับและจุดหมุนเพิ่มขึ้น ให้มีความใกล้เคียงมากขึ้น ซึ่งแบบจำลองผู้โดยสารที่ได้ทำการทดลองได้แก่
- 4.3.1 แบบจำลอง A มวลทรงสี่เหลี่ยม น้ำหนัก 65 กิโลกรัม
 - 4.3.2 แบบจำลอง B มวลรูปตัว L น้ำหนัก 65 กิโลกรัม
 - 4.3.3 แบบจำลอง C ประกอบด้วย 2 มวลคือ ศีรษะ-ลำตัว และท่อนขา มีจุดหมุน 1 จุด น้ำหนัก 65 กิโลกรัม
 - 4.3.4 แบบจำลอง D ประกอบด้วย 3 มวลคือ ศีรษะ ลำตัว และท่อนขา มีจุดหมุน 2 จุด น้ำหนัก 65 กิโลกรัม
 - 4.3.5 แบบจำลอง E ประกอบด้วย 3 มวลคือ ศีรษะ-ลำตัว ท่อนขาช่วงบน และท่อนขาช่วงล่าง มีจุดหมุน 2 จุด น้ำหนัก 65 กิโลกรัม
 - 4.3.6 แบบจำลอง F ประกอบด้วย 4 มวลคือ ศีรษะ ลำตัว ท่อนขาช่วงบน และท่อนขาช่วงล่าง มีจุดหมุน 3 จุด น้ำหนัก 65 กิโลกรัม
 - 4.3.7 แบบจำลอง G ประกอบด้วย 6 มวลคือ ศีรษะ ลำตัว ท่อนแขน 2 ท่อน ท่อนขาช่วงบน และท่อนขาช่วงล่าง โดยมีจุดหมุน 5 จุด น้ำหนัก 65 กิโลกรัม
 - 4.3.8 แบบจำลอง H ประกอบด้วย 10 มวลคือ ศีรษะ ลำตัว ท่อนแขนช่วงบน 2 ท่อน ท่อนแขนช่วงล่าง 2 ท่อน ท่อนขาช่วงบน 2 ท่อน และท่อนขาช่วงล่าง 2 ท่อน โดยมีจุดหมุน 9 จุด น้ำหนัก 65 กิโลกรัม โดยถ่วงน้ำหนักของอวัยวะต่างๆ ตามค่าของ Braune และ Fischer [1] ดังแสดงในตารางที่ 2

ตารางที่ 2 เปอร์เซนต์น้ำหนักของส่วนต่างๆ ของร่างกาย

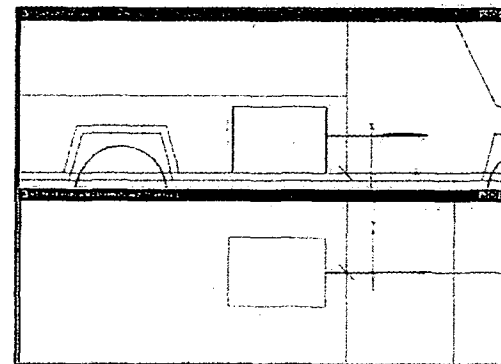
Segment	Percentages
Head	7.06
Trunk	42.7
Upper arm (2)	6.72
Forearm with Hand (2)	6.24
Thigh (2)	23.16
Calf (lower leg) with Foot (2)	14.12

4.4 ทดสอบความแม่นยำของโปรแกรม Working Model Motion โดยการตั้งค่า Sampling Rate ไว้ที่ 2000 Hz และวิธีการปรับค่า Integration Time Step, t_i , ให้ลดลงแล้วทำการ Run จนได้ค่า t_i ที่เหมาะสม

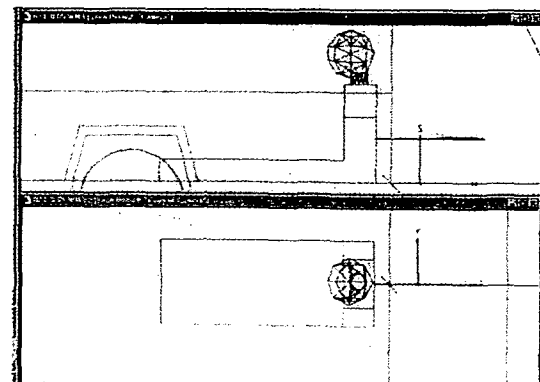
- 4.5 ทำการทดสอบแบบจำลองผู้โดยสารเมื่อเปลี่ยนแปลงค่า e เพื่อเลือกค่า e ที่เหมาะสม โดยการศึกษาจากลักษณะการเคลื่อนไหวของแบบจำลองผู้โดยสารเมื่อเกิดการชน ว่าที่ค่า e เท่าใดที่มีความใกล้เคียงความเป็นจริงมากที่สุด
- 4.6 กำหนดคุณสมบัติของแบบจำลอง เช่น น้ำหนัก ขนาด และคุณสมบัติของจุดหมุน
- 4.7 กำหนดเงื่อนไขต่างๆ ได้แก่ ความเร็วของรถ ค่าสัมประสิทธิ์ความเสียหาย และค่า e
- 4.8 เก็บข้อมูลของแบบจำลองผู้โดยสารแบบต่างๆ โดยการปรับค่าตัวแปรให้ได้ตามที่ทำการทดลองและเลือกไว้

5. ผลการจำลอง

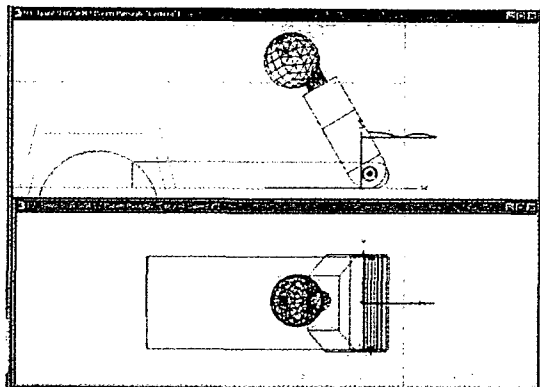
- 5.1 การทดสอบเบื้องต้นสำหรับค่า Coefficient of Restitution (e) จะได้ค่าที่เหมาะสมที่สุดคือ 0.05 และใช้ค่า Integration Time Step (t_i) เท่ากับ 125 μ sec
- 5.2 จากการจำลองการประทับด้านหน้าโดยมีมุมชนกัน 90 องศา กับระบบของตัวรถบรรทุก (ระบบ y-z) โดยทุกกรณีจะเกิดการเคลื่อนที่ของตัวรถบรรทุกหลังเกิดการชนในแกน z เพียง 12 mm ซึ่งประเมินได้ว่า การเคลื่อนที่ภายหลังอยู่ ในแนวเส้นตรง บนระบบ ขนาดกับพื้นถนน แบบจำลองรูปร่างต่างๆ ได้ทำการบันทึกภาพการเคลื่อนที่ของผู้โดยสารไว้ ได้ผลดังแสดงในรูปที่ 1 ถึง รูปที่ 8



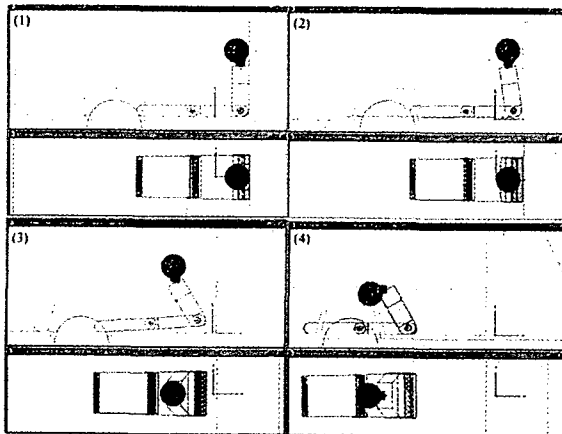
รูปที่ 1 แบบจำลอง A (วิวด้านข้าง x-z และด้านบน x-y) ที่เวลา 0.32 วินาที ความเร็วรถ 25 m/s



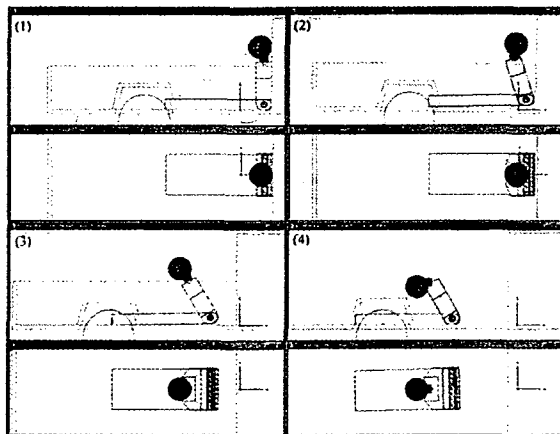
รูปที่ 2 แบบจำลอง B ที่เวลา 0.52 วินาที ความเร็วรถ 25 m/s



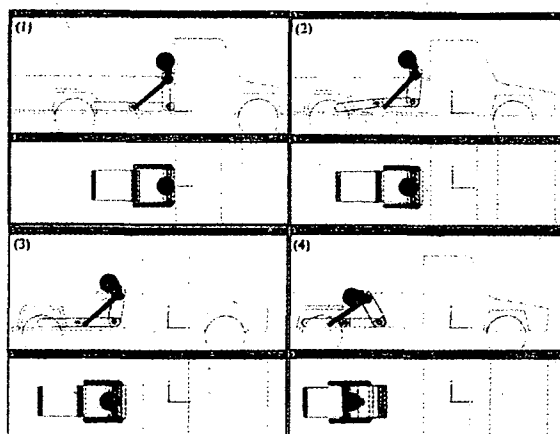
รูปที่ 3 แบบจำลอง C ที่เวลา 0.38 วินาที ความเร็วรถ 25 m/s



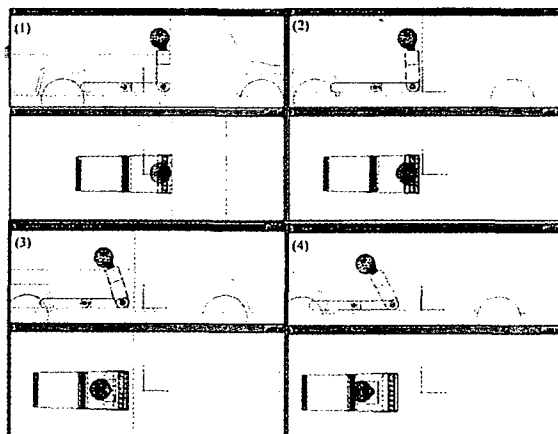
รูปที่ 6 แบบจำลอง F ที่เวลา 0.012, 0.045, 0.15 และ 0.55
วินาที ตามลำดับ ความเร็วรถ 25 m/s



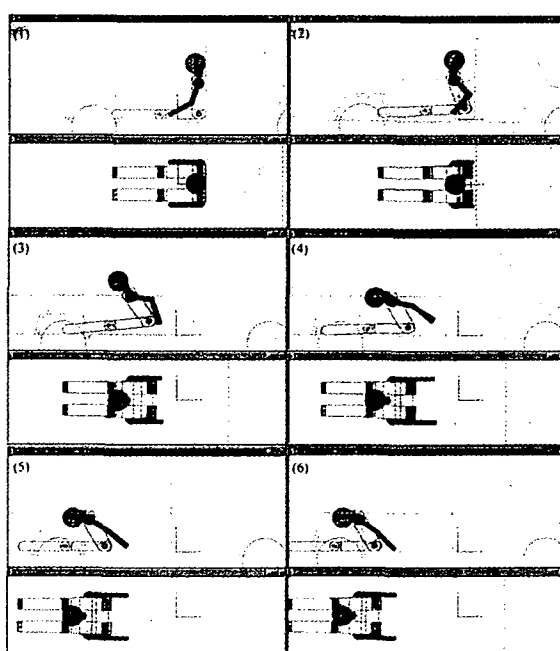
รูปที่ 4 แบบจำลอง D ที่เวลา 0.012, 0.075, 0.20 และ 0.35
วินาที ตามลำดับ ความเร็วรถ 25 m/s



รูปที่ 7 แบบจำลอง G ที่เวลา 0.012, 0.10, 0.25 และ 0.45
วินาที ตามลำดับ ความเร็วรถ 25 m/s



รูปที่ 5 แบบจำลอง E ที่เวลา 0.012, 0.15, 0.25 และ 0.35
วินาที ตามลำดับ ความเร็วรถ 25 m/s



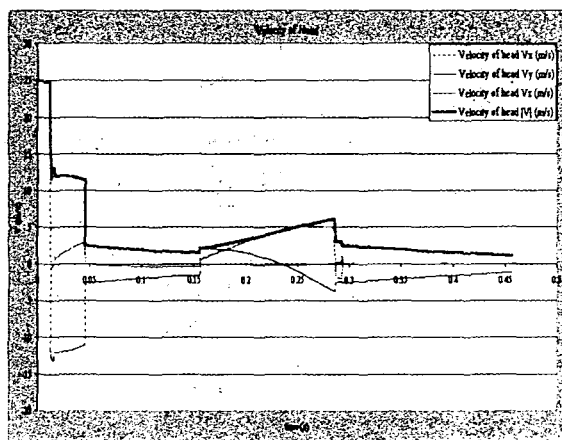
รูปที่ 8 แบบจำลอง H ที่เวลา 0.012, 0.075, 0.20, 0.28, 0.36
และ 0.45 วินาที ตามลำดับ ความเร็วรถ 25 m/s

5.3 สรุปเวลาในการประมวลผล ของแบบจำลองค่างๆ ได้ดังแสดงในตารางที่ 3

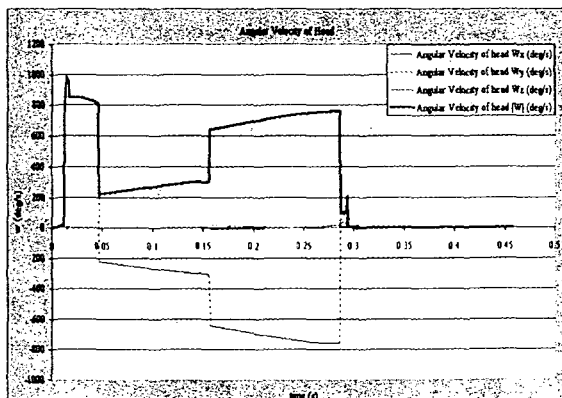
ตารางที่ 3 Processing times for each model

Model	All frame	Process time (s)
A	657	233.2544
B	707	265.125
C	720	364.0449
D	872	403.348
E	1152	490.2128
F	1087	536.7901
G	1340	668.7616
H	1177	1362.842

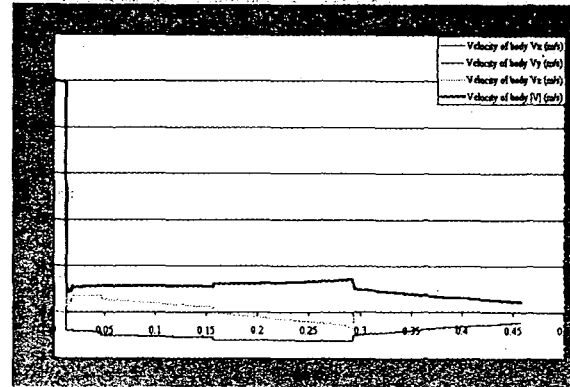
5.4 การจำลองการประทับจากด้านหน้าของผู้โดยสารแบบจำลอง H ที่ ความเร็วคงระดับ 25 m/s ได้บันทึกผลของการเร็ว และ ความเร็วเชิงมุมที่ศีรษะ และลำตัว ได้ผลดังรูปที่ 9 ถึง รูปที่ 12 และโนเมนท์ที่เกิดขึ้นที่ส่วนคอ ในรูปที่ 13



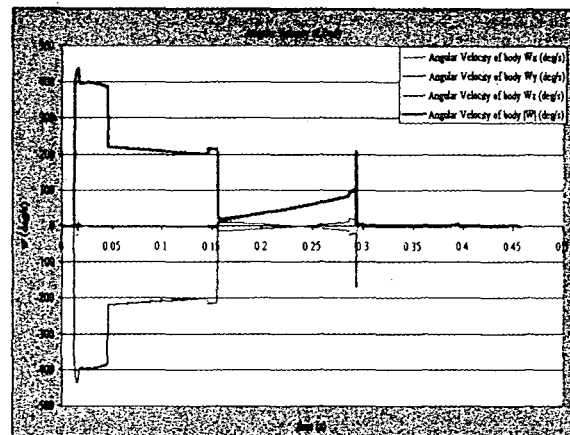
รูปที่ 9 ความเร็วในทิศทาง x,y,z และผลลัพธ์ของความเร็ว ของศีรษะของผู้โดยสารแบบจำลอง H



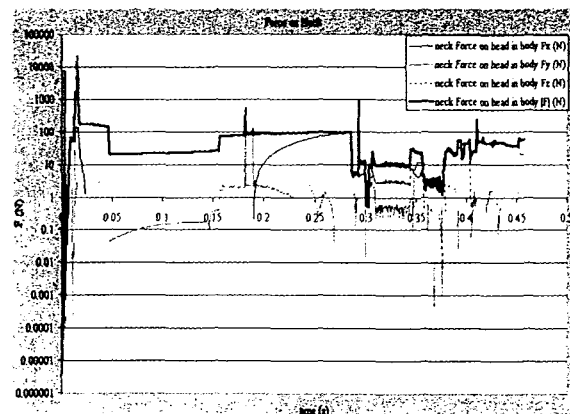
รูปที่ 10 ความเร็วเชิงมุมรอบแกน x,y,z และผลลัพธ์ของ ความเร็วเชิงมุมของศีรษะของผู้โดยสารแบบจำลอง H



รูปที่ 11 ความเร็วในทิศทาง x,y,z และผลลัพธ์ของความเร็ว ของลำตัวของผู้โดยสารแบบจำลอง H



รูปที่ 12 ความเร็วเชิงมุมรอบแกน x,y,z และผลลัพธ์ของ ความเร็วเชิงมุม ของลำตัวของผู้โดยสารแบบจำลอง H

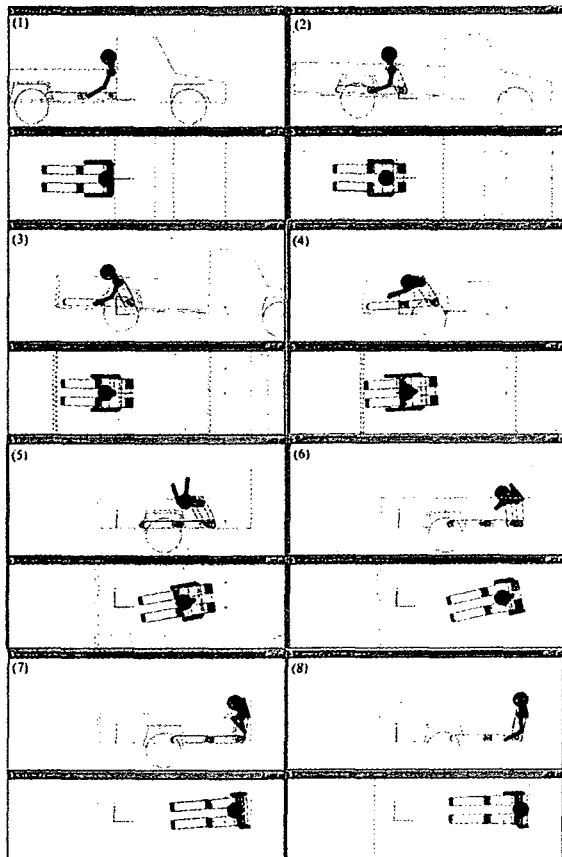


รูปที่ 13 แรงในทิศทาง x,y,z และผลลัพธ์ของแรงที่เกิดขึ้นกับ คอของผู้โดยสารแบบจำลอง H

กราฟที่ได้ จะมีลักษณะเป็นกราฟที่เกิดการเปลี่ยนแปลงอย่าง รวดเร็วอยู่หลาๆ จุด แต่จะเห็นว่า การเปลี่ยนแปลงอย่างรวด เร็วแต่ละจุดนี้เกิดขึ้นพร้อมกัน ในทุกๆ กราฟ สำหรับของการ เปลี่ยนแปลงอย่างรวดเร็วนี้เกิดขึ้นจาก การกระแทกของอวัยวะ

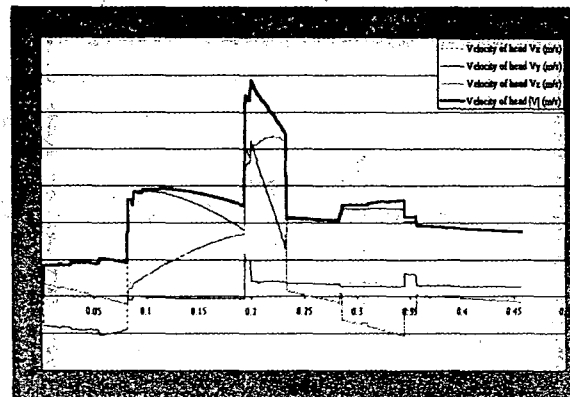
หากัดตาม กับพื้นรถ ซึ่งจะส่งผลมายังอวัยวะอื่นๆ ให้เกิดการเปลี่ยนแปลงของความเร็ว และความเร็วเชิงมุมตามไปด้วย นอกจากนี้การหมุนของอวัยวะที่ถูกกระแทกที่ทำให้หัวหมุนได้ ก็ยังเป็นสาเหตุให้เกิดการเปลี่ยนแปลงอย่างรวดเร็วของกราฟอีกด้วย

5.5 การจำลองการปะทะจากด้านท้ายโดยการปะทะทำมุม 90 องศา กับระนาบของตัวรถบรรทุก(ระนาบ y-z) ของแบบจำลอง H ได้แสดงผลการบันทึกภาพการเคลื่อนที่ของผู้โดยสารดังรูปที่ 14

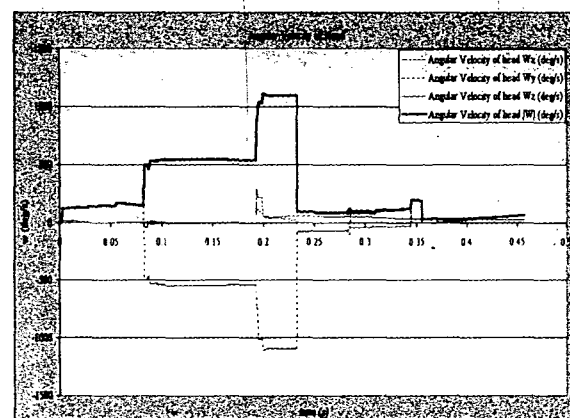


รูปที่ 14 ภาพการเคลื่อนที่ของผู้โดยสารแบบจำลอง H
(วิวด้านข้างและด้านบน) จากการปะทะจากด้านท้ายที่
เวลา 0.0025, 0.0075, 0.17, 0.25, 0.45, 0.60, 0.70
และ 0.85 วินาที ตามลำดับ ความเร็วรถ 25 m/s

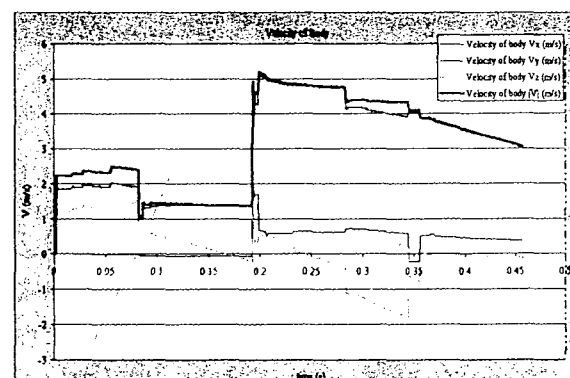
5.6 ค่าความเร็ว และความเร็วเชิงมุมของคอและลำตัวจากการปะทะด้านท้าย ได้แสดงผลในรูปที่ 15 ถึง 18 และแรง และ โมเมนต์ที่เกิดขึ้นที่ส่วนคอ ดังรูปที่ 19 โดยมีความเร็วของรถที่ปะทะด้านท้าย 25 m/s ทำมุม 90 องศา กับระนาบ y-z



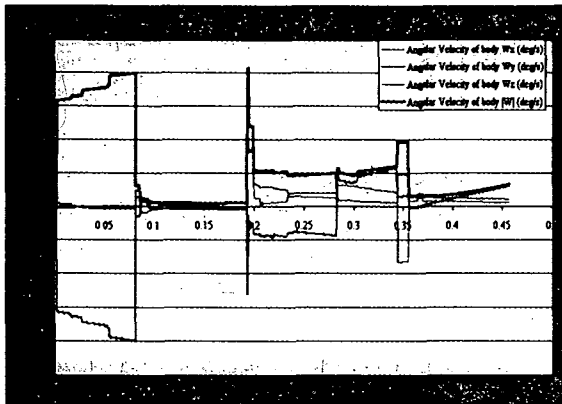
รูปที่ 15 ความเร็วในทิศทาง x,y,z และผลลัพธ์ของความเร็วของศีรษะของผู้โดยสารแบบจำลอง H



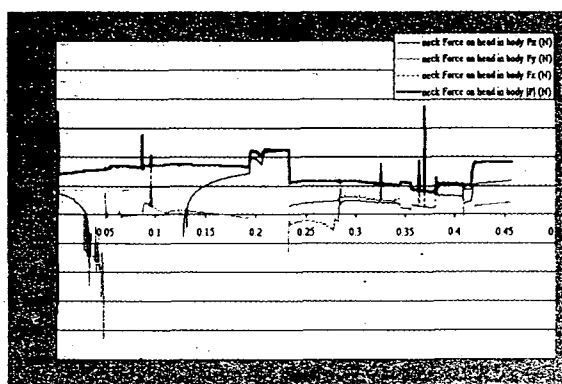
รูปที่ 16 ความเร็วเชิงมุมรอบแกน x,y,z และผลลัพธ์ของความเร็วเชิงมุมของศีรษะของผู้โดยสารแบบจำลอง H



รูปที่ 17 ความเร็วในทิศทาง x,y,z และผลลัพธ์ของความเร็วของลำตัวของผู้โดยสารแบบจำลอง H



รูปที่ 18 ความเร็วเชิงมุมรอบแกน x,y,z และผลลัพธ์ของความเร็วเชิงมุมของผู้โดยสารแบบจำลอง H



รูปที่ 19 แรงในทิศทาง x,y,z และผลลัพธ์ของแรงที่เกิดขึ้นที่ส่วนคอของผู้โดยสารแบบจำลอง H

6. สรุปและวิจารณ์ผล

ผลการจำลองการชนด้านหน้าด้วยแบบจำลองของผู้โดยสารรูปทรงต่างๆ กันมีดังนี้

6.1 จะพบว่า ลักษณะของการสะท้อนกลับของผู้โดยสารที่นั่งอยู่ท้ายรถบรรทุกในแบบจำลอง A ถึง C จะมีลักษณะที่เหมือนกันซึ่งสังเกตได้จากการฟกร่างเคลื่อนที่ของแบบจำลองโดยพิกัด x-z หรือด้านข้าง (รูปที่ 1 ถึง 3) ในภาพจะแสดงจุดเริ่มต้นที่รถเริ่มเคลื่อนที่ดังแสดงใน เมื่อเกิดการชน แบบจำลองผู้โดยสารจะถูกแรงกระแทกที่ด้านหลังกับหัวของรถและเกิดการสะท้อนนี้จากการเด็กซ์อย แต่การเคลื่อนที่ยังคงอยู่ในระนาบเดียวกันกับการเคลื่อนที่ของรถ สำหรับแบบจำลอง D ถึง F และ H จะมีลักษณะเหมือนกัน คือ ให้ลจะเคลื่อนที่ออกจากผนังของรถก่อน ยกเว้น แบบจำลอง G ที่สะทอรจะเคลื่อนที่ออกมาก่อน โดยความแตกต่างที่เกิดขึ้นอยู่กับการกำหนดค่า Tolerance ที่ใช้ในการคำนวนซึ่งมีผลกระทบทำให้ตำแหน่งของ ด้าน ขา และศีรษะ ที่ได้ในการคำนวนที่ค่า แตกต่างกันสำหรับผู้โดยสารที่จำลอง รูปร่างเหมือนคนจริง(H) มีลักษณะการเคลื่อนที่ไม่ต่างจากแบบจำลองอื่นนัก และจากการจำลองการชน ไม่มีแบบไหนที่ผู้โดยสารจะกระเด็น

ออกนอกรถ และว่าผู้โดยสารที่นั่งอยู่ในลักษณะนี้จะไม่กระเด็นออกนอกรถ เมื่อเกิดอุบัติเหตุจากการประทับด้านหน้าขึ้น

6.2 สำหรับการชนจากด้านหน้าและด้านหลัง พบว่า ค่าการเปลี่ยนแปลงความเร็วของหัวของตัวของแบบจำลองเมื่อเกิดการชนด้านหน้ามากกว่าการชนด้านหลัง โดยที่การเปลี่ยนแปลงความเร็วของศีรษะและลำตัวของแบบจำลองมีค่า $26,200 \text{ m/s}$ ต่อวินาที และ $44,840 \text{ m/s}$ ต่อวินาที ตามลำดับ ในขณะที่การเปลี่ยนแปลงความเร็วของศีรษะและลำตัวของแบบจำลองเมื่อเกิดการชนด้านหลังมีค่า $5,968 \text{ m/s}$ ต่อวินาที และ $7,040 \text{ m/s}$ ต่อวินาที ตามลำดับ จึงเป็นผลให้แรงที่เกิดขึ้นกับค่าของการชนด้านหน้ามีค่ามากกว่าการชนจากด้านหลัง และจากค่าดังกล่าว แสดงให้เห็นถึงพลังงานที่เกิดขึ้น ที่สามารถทำให้อวัยวะส่วนนั้นๆ ของร่างกายได้รับบาดเจ็บอย่างรุนแรงได้

6.3 จากการจำลองอุบัติเหตุในงานวิจัยนี้ แสดงถึงความง่ายในการทำนาย เหตุการณ์ที่จะเกิดขึ้น แต่ผลการทำนายที่ได้ ยังมีความผิดพลาดจากความเป็นจริง เพราเวโปรแกรมที่ใช้ กำหนดให้มวลของผู้โดยสารเป็นวัตถุแข็ง (Rigid Body) เท่านั้น ซึ่งต่างจากสภาพทางกายภาพของหัวคนและรถจริงๆ โดยการวิเคราะห์เพื่อให้ได้ผลที่ถูกต้องรวมการวิเคราะห์หัวของคน Kinematic และ Finite Element Analysis แต่ในงานวิจัยนี้ได้ทำการทดสอบลักษณะของวัตถุ โดยปรับค่า Coefficient of Restitution , e ให้ใกล้เคียงกับการเป็นวัตถุยืดหยุ่นมากที่สุด โดยข้อมูล จากการทดสอบจากอุปกรณ์จริง ยังมีได้นำมาใช้ปรับเทียบ เป็นจากการทดลองนั้น กระทำได้ยาก ใช้มาใช้จ่ายสูงทั้งยังเกิดความเสี่ยงอีกด้วย และการชนที่เกิดขึ้นในแบบจำลองเป็นการชนที่ทำมุม 90 องศาบนระนาบของตัวรถบรรทุก(ระนาบ y-z) ซึ่งในความเป็นจริงนั้นมีโอกาสเกิดขึ้น้อยมาก

6.4 การจำลองข้อต่อที่คอก และสะโพกไม่สามารถจำลองให้เหมือนของมนุษย์ได้ เนื่องจากข้อต่อทั้งสองควรเป็นแบบ Ball-Socket หรือ Spherical Joint ซึ่งในการจำลอง โปรแกรมที่ใช้จะไม่สามารถกำหนดคงอยู่ของเขตต่ำสุดและสูงสุดของการเคลื่อนที่ได้ จึงทำให้จำเป็นต้องใช้ Revolute Joint จึงเป็นอีกปัจจัยหนึ่งที่ทำให้ ล้ำกากในการจำลองให้เหมือนร่างกายมนุษย์ได้

6.5 การทำนายให้ได้ค่าถูกต้องมากยิ่งขึ้นนี้อยู่กับได้โดยการปรับค่า Tolerance ให้มีค่าน้อยลง หรืออีกทางหนึ่งคือ ลดค่า Integration steps ให้น้อยลง แต่บริการดังกล่าวจะทำให้เสียเวลาในการคำนวนมากขึ้น ซึ่งจำเป็นต้องใช้ความสามารถของเครื่องคอมพิวเตอร์ที่มีความสามารถถูกสูงขึ้นเป็นมาตรฐานด้วย

6.6 งานวิจัยนี้นอกจากจะนำเสนอในเนื้อเรื่องของการจำลองเหตุการณ์ที่เกิดขึ้นจริงบนคอมพิวเตอร์โดยจำลองผู้โดยสารเป็น Rigid Body และ ยังแสดงให้เห็นถึง แนวโน้มในการใช้คอมพิวเตอร์ เพื่อการพัฒนาความสามารถของมนุษย์ในการค้นหาข้อมูลบางอย่างที่ยากต่อการทดสอบจริง เช่น ต้องแลกกับความเสี่ยง อันตราย ความเสียหาย งบประมาณและเวลา

ເອກສານຂ້າງຂົງ

1. Marlene J. Adrian, D.P.E., John M. Cooper, Fd.D.
Biomechanics of Human Movement :Brown & Benchmark
Publishers, 1989
2. *MSC/Working Model User's Manual* :The Mac Neal-Schwendler, 1999
3. Joseph Hamill, Ph.D., Kathleen M. Knutzen. *Biomechanical Basis of Human Movement* :Williams&Wilkins, 1995
4. <http://www.krev.com>